

WQ

No. \_\_\_\_\_

Date 58. 4. 2. 3

# 厚い壁のある2次元振動翼の理論

別紙

## 内容

### 概要

頁  
0

1. 速度ポテンシャルの表現	1
2. 境界条件	4
3. 逆流れ	6
4. 力とモーメント(I)	7
5. " (II)	13
6. 仕事と推力	15-16

### 附録 A 後流場ポテンシャル

" B カルマン漏列の推力

" C ラグリードの定理とブランジウスの公式

" D 解について

## 概要

平板翼の振動理論は角解法解法があるので便利であるが厚味があるとどうなるか特に推力については興味がある。(一二次の方についてはあまり問題がないと思う)

厚味があると加速度ポテンシャルの方法が使えない少し複雑ではあるが後流場が一様流と異なる流れ行くとすると理論は簡単で特に境界層をカーベル-ショニの分布とすると境界層問題は大変簡単である。

力とモーメントについてもこのカーベル-ショニ分布から簡単に計算出来る。その式は結構長々で、ジエコフスキイの定理になつてゐる。

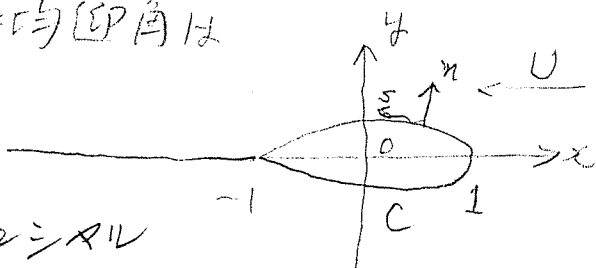
力の相反性は少し複雑であまり有用でもないようなので省略とします。

最後に後流場は終局的にカルマニ場列を形づくって流れますのであらうからこれを觀察すれば推力を見積る事が出来るわけである金、Bに記す。

この式から見れば”紹型理論による推力は過大に見積っている可能性がある。

## 1. 速度ポテンシャルの表現

簡単の為に対称翼を考え、平均仰角は0度しよう。



厚ルネがあるので加速度ポテンシャルの方法では後縁渦が面分布する事となり、具合が悪い。ことに

ここで後縁渦は翼後端からx軸に沿って無限後流まで続くものとし、またそれは主流の速度で流れていくものと仮定しよう。

C上にも渦分布  $\delta(\theta) e^{i\omega t}$  があるものとする。

後縁渦は  $\delta[\epsilon(x) e^{i\omega t}]$  としよう。

C上の全渦量は

$$P e^{i\omega t} = \left[ \int_C \delta(\theta) d\sigma_\theta \right] e^{i\omega t}, \quad (1.1)$$

ケルビンの定理により後縁渦はPの時間的変化に等しくなければならぬ。

$$(at) \frac{d}{dt} [P e^{i\omega t}] = -\epsilon(-1) e^{i\omega t} \cdot U \Delta t, \quad (1.2)$$

$$\text{or } i\omega P = -U \epsilon(-1), \quad (1.3)$$

2の場合は一様流にのって3次方

$$\left( \frac{\partial}{\partial t} + V \frac{\partial}{\partial x} \right) [E(x) e^{i\alpha t}] = 0, \quad \dots \quad (1.4)$$

これが

$$E(x) = C e^{+i\alpha x}, \quad \alpha = \omega/v; \quad (1.5)$$

(1.3)を代入すると

$$i\alpha P = -\varepsilon(-1) = -C e^{i\alpha}$$

$$\text{よって} \quad C = -i\alpha P e^{-i\alpha}, \quad \dots$$

$$\text{あるいは} \quad E(x) = -i\alpha P e^{i\alpha x + i\alpha x}, \quad \text{for } x < -1; \quad (1.6)$$

$$P = \int_C \gamma(Q) dS_Q, \quad \dots \quad (1.7)$$

$$\text{運動方程式は} \quad \phi(P) = \phi_1 + \phi_2, \quad (1.8)$$

$$\phi_1(P) = \frac{1}{2\pi} \int_C \gamma(Q) \Theta(P, Q) dS_Q, \quad \dots \quad (1.9)$$

$$\phi_2 = \frac{1}{2\pi} \int_{x'=-\infty}^1 \gamma(x') \Theta(P, x') dx', \quad (1.10)$$

$$\Theta(P, Q) = \tan^{-1} \frac{y - y'}{x - x'}, \quad (1.11)$$

(1.10) & (1.6) を足すと

$$\phi_2(P) = \mp P \phi_r(P), \quad (1.12)$$

$$\phi_r(P) = -\frac{1}{2\pi i} \int_{-\infty}^1 e^{i\alpha(x+1)} \Theta(P, x') dx', \quad (1.13)$$

無限遠方では (1.9) は

$$\phi_1(p) \doteq \frac{P}{2\pi} \textcircled{D}(p, 0), \dots \quad (1.14)$$

である  $\phi_1$  は 関係式 (A.12) + ) 上流側では

$$\phi_2 \doteq -\frac{P}{2\pi} \textcircled{D}(p; -1, 0), \dots \quad (1.15)$$

であるから  $\phi$  は 1/2 doublet であることを示す。

下流側では

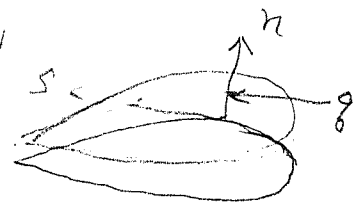
$$\phi(p) \doteq -\frac{P}{2} \operatorname{sgn}(x) e^{i\alpha(x+1)-\alpha|y|}, \dots \quad (1.16)$$

## 2. 境界条件

厚味がある時は 平板翼の場合と異なり

定常流れを乱す流れを考えねば

ならぬ。



今定常流れの表面に沿う流速を  $U$  とする。

前後流れ、上下流れ、縦流れの各速度を  $X_1, X_2, X_3$  とすると 空気の境界条件は流れ面を離れて立つところに定まる。

$$\psi = -X_1 \left[ i\omega y - g \frac{\partial y}{\partial s} \right],$$

$$\psi = -X_2 \left[ -i\omega x + g \frac{\partial x}{\partial s} \right],$$

$$\psi = -X_3 \left[ -\frac{i\omega r^2}{2} + \frac{g}{2} \frac{\partial(r^2)}{\partial s} \right],$$

} (2.1)

これが先ず“定常流れを解くのは”ではない。

定常流れの式  $\nabla^2 \psi = 0$  も (1.9) の形で立つ。

$$\phi_0(P) = \frac{1}{2\pi} \int_C \psi_0(Q) \nabla \cdot \hat{D}(P, Q) dS_Q, \quad \dots (2.2)$$

境界条件は

$$\frac{\partial \phi_0}{\partial n} = -U \frac{\partial X}{\partial s}, \quad \psi_0 = -Uy, \quad (2.3)$$

・グッタの流出条件は、後端で

$$\phi_0|_{\text{後端}} = 0, \dots \quad (2.4)$$

この条件のかわりに、後端の上下側で  $\phi_0$  の鉛直速度が等しく符号が反対となるとしてもよい。

これは  $|\phi_0| = R$ ,  $\dots \quad (2.5)$

とする便利な関係がある。

なお、<sup>周上</sup>速度成分  $(u, v)$  は  $v = \frac{\partial \phi_0}{\partial s}$ .

$$u = -g \frac{\partial x}{\partial s}, \quad v = -g \frac{\partial y}{\partial s}, \quad g = -(u \frac{\partial x}{\partial s} + v \frac{\partial y}{\partial s})$$

$$xu + yv = -\frac{g}{2} \frac{\partial(r^2)}{\partial s} \quad \dots \quad (2.6)$$

さて運動する場合は、ボテンシヤルは (1.8) によって  
与えられかつ右は C 上で正則であるから、境界  
値問題の解法は 定常問題の場合と全く同じ  
で境界条件が異なるだけである。

流出条件はやはり (2.4) と同じで、後端で  
その符号が逆になつて“れば”よい。

(2.1) を (2.6) を用いて  $\phi$  の運動方程式でかくと 実位相中は

$$\text{Sway} \quad \frac{\partial \phi_1}{\partial n} = -i\omega \frac{\partial \psi}{\partial n} + \frac{\partial}{\partial n} \left( \frac{\partial \bar{\Phi}_c}{\partial x} \right)$$

here

$$\frac{\partial \phi_2}{\partial n} = -i\omega \frac{\partial \psi}{\partial n} - \frac{\partial}{\partial n} \left( \frac{\partial \bar{\Phi}_o}{\partial y} \right) \quad (2.7)$$

pitch

$$\frac{\partial \phi_3}{\partial n} = -i\omega \left( \gamma Y_n - Y X_i \right) - \frac{\partial}{\partial n} \left( \gamma \left( \frac{\partial \bar{\Phi}_c}{\partial y} - Y \frac{\partial \bar{\Phi}_o}{\partial x} \right) \right)$$

### 3 逆流れ ポテンシアル

一様流れを逆にした流れを考えると便利である  
が平板壁の場合となり、先端が丸くなつて  
物理的には具合が悪い。(クッタの条件が成立しない)  
いづれにしても 従流端は今度は  $\omega$  軸の正側に  
ある。

また当面一様流れは サーキュレーションを含まぬ  
ものを想定しているので 定常流れは速度の勾配のみ  
逆にならざりでかつて、境界条件は (2.1) に  
か2段の符号を変えておきたい。

次に 単位振幅の逆流れ ポテンシアルでは

$$\text{sway 12.2.1} \quad \frac{\partial \phi_1}{\partial n} = - \left[ i\omega \frac{\partial X}{\partial n} + \frac{\partial}{\partial S} \left( g \frac{\partial X}{\partial n} \right) \right],$$

$$\text{heaving} \quad \frac{\partial \phi_2}{\partial n} = - \left[ i\omega \frac{\partial Y}{\partial n} + \frac{\partial}{\partial S} \left( g \frac{\partial Y}{\partial n} \right) \right]$$

$$\frac{\partial \phi_3}{\partial n} = - [$$

## 4 力とモーメント

ベルヌーイの定理により圧力は

$$\frac{\phi}{\rho} = \frac{\bar{\Phi}}{\rho} - \frac{1}{2} [(\nabla \bar{\Phi})^2 - U^2], \quad (4.1)$$

$$\bar{\Phi} = \Phi + \psi; \quad \Phi = UX + \phi_0, \quad (4.2)$$

$\phi_0$  は §2 で定義した 定常流れのポテンシャル、  
 $\psi$  は 扰動ポテンシャルで今は実数値をもつ時間の  
 関数と考えておく

すると 力とモーメントは 直線運動の物体用 C 上で  
 積分して

$$F_j = - \int_C \rho \frac{\partial X_i}{\partial n} ds, \quad j=1, 2, 3, \quad (4.3)$$

$$X_1 = x, \quad X_2 = y, \quad X_3 \text{ は } \frac{\partial X_3}{\partial n} = x \frac{\partial y}{\partial n} - y \frac{\partial x}{\partial n}, \text{ on } C \text{ で}$$

C の 内部で 正則な 速度ポテンシャル、つまり C の 内部が  
 水で満たされていて C が 1 回転する時の水の運動の  
 速度ポテンシャルである。

さて

$$\int_C \frac{\partial \bar{\Phi}}{\partial t} \frac{\partial X_i}{\partial n} ds = \frac{d}{dt} \int_C \bar{\Phi} \frac{\partial X_i}{\partial n} ds + \int_C \frac{\partial \bar{\Phi}}{\partial x_j} \frac{\partial \bar{\Phi}}{\partial n} ds, \quad (4.4)$$

$$\text{左} \cdot 12 \text{ 以下 } \frac{\partial}{\partial X_3} \text{ は } \frac{\partial}{\partial X_3} = x \frac{\partial}{\partial y} - y \frac{\partial}{\partial x}$$

を 得る べき とする。

左の関係がある。 (4.3) は

$$\frac{F}{\rho} = - \frac{d}{dt} \int_C \bar{\Phi} \frac{\partial x_i}{\partial n} ds + \int_C \left[ \frac{1}{2} \{(\nabla \bar{\Phi})^2 - U\} \frac{\partial x_i}{\partial n} - \frac{\partial \bar{\Phi}}{\partial x_i} \frac{\partial \bar{\Phi}}{\partial n} \right] ds, \quad (4.5)$$

と書き子。

この内右辺第1項の積分は

$$\int_C \bar{\Phi} \frac{\partial x_i}{\partial n} ds = \int_C \left( \bar{\Phi} \frac{\partial x_i}{\partial n} - x_i \frac{\partial \bar{\Phi}}{\partial n} \right) ds + \int_C x_i \frac{\partial \bar{\Phi}}{\partial n} ds,$$

のようじで第1項と右辺第1項は積分路(2)を除く外、

が2種類(2つ)には

$$\frac{\partial \bar{\Phi}}{\partial n} = - \sum_{j=1}^3 \dot{x}_j \frac{\partial x_i}{\partial n}, \text{ on } C, \quad (4.6)$$

を考慮すると

$$\int_C x_i \frac{\partial \bar{\Phi}}{\partial n} ds = - \sum_{j=1}^3 \dot{x}_i m_{ij}, \quad (4.7)$$

$$\text{但し } m_{ij} = \int_C x_i \frac{\partial x_j}{\partial n} ds, \quad (4.8)$$

となるて  $m_{ij}$  は  $x_i$  が周り全体を通る時周回面積である。

それ故  $\bar{C}$  を  $C$  の平均位置とすると

$$\int_C \bar{\Phi} \frac{\partial x_i}{\partial n} ds = \int_{\bar{C}} \left( \bar{\Phi} \frac{\partial x_i}{\partial n} - x_i \frac{\partial \bar{\Phi}}{\partial n} \right) ds - \sum_{j=1}^3 \dot{x}_i m_{ij}, \quad (4.9)$$

(4.5) 右辺第2項も積分路(2)を除く外、

\*  $x_3$  は  $C$  の内部の面積であることに注意。

$$\bar{F}_j/\rho = \sum_{i=1}^3 \dot{X}_i m_{ij} - \frac{d}{dt} \int_{\bar{C}} \left( \bar{P} \frac{\partial X_i}{\partial n} - X_j \frac{\partial \bar{P}}{\partial n} \right) ds + \int_{\bar{C}} \left[ \frac{1}{2} \{(\nabla \bar{P})^2 - U^2\} \frac{\partial X_j}{\partial n} - \frac{\partial \bar{P}}{\partial X_j} \frac{\partial \bar{P}}{\partial n} \right] ds, \quad (4.10)$$

2. 2"

$$\frac{\partial \bar{P}}{\partial n} \Big|_{\bar{C}} = \frac{\partial \phi}{\partial n} \Big|_{\bar{C}} = - \sum_{i=1}^3 \dot{X}_i \frac{\partial \gamma_i}{\partial n} - \sum_{i=1}^3 \dot{X}_i \frac{\partial}{\partial n} \left( \frac{\partial \bar{P}_0}{\partial X_i} \right), \quad (4.11)$$

$$\frac{\partial \bar{P}_0}{\partial n} \Big|_{\bar{C}} = 0$$

2" 球殻から (4.10) は

$$\begin{aligned} \bar{F}_j/\rho &= - \int_{\bar{C}} \left[ \frac{\partial \phi}{\partial t} - \frac{1}{2} \{(\nabla \bar{P})^2 - U^2\} \right] \frac{\partial X_j}{\partial n} ds \\ &\quad - \int_{\bar{C}} \left[ \frac{d}{dt} \left( \sum_i \dot{X}_i \frac{\partial^2 \bar{P}_0}{\partial n \partial X_i} \right) + \frac{\partial \bar{P}}{\partial X_j} \frac{\partial \bar{P}}{\partial n} \right] ds, \quad (4.12) \end{aligned}$$

右辺第1項の  $\frac{\partial \phi}{\partial t}$  は 縦分面積は  $\bar{C}$  上の圧力であるから  
 縦る  $\bar{C}$  上の圧力を積分したのと  $C$  上の圧力の半分では  
 右辺第2項を含む  $\frac{1}{2}$  の差が  $\frac{1}{2}$  小けたである。

$\bar{F}_j/\rho$  は 今は  $\bar{C}$  を  $\bar{C}$  に サイズレーニングする  
 小さくすれば  $\frac{1}{2}$  小けたである。

次式 (4.10) は もう 1 つ

$$\tilde{L}_j = \int_{\bar{C}} \left( \bar{\mathcal{P}} \frac{\partial x_j}{\partial n} - x_j \frac{\partial \bar{\mathcal{P}}}{\partial n} \right) ds, \quad (4.13)$$

では 積分を 考えよう。

(1.9), (1.12) を 考慮して

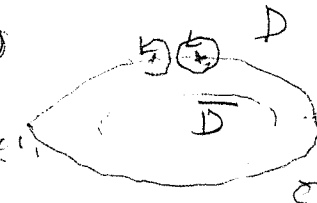
$$\bar{\mathcal{P}} = Ux + \phi_0 + \phi_r - P_r \phi_r, \quad (4.14)$$

となる。 2.12

$$\phi_j = \frac{1}{2\pi} \int_{\bar{C}} \gamma_j \Theta ds, \quad j=0, 1, \quad \{ \quad (4.15)$$

$$P_r = \int_{\bar{C}} \gamma_1 ds$$

$\phi_r$  は (1.13) の 定義 による。

(4.14) は  $\bar{D}$  上で 正則であるから、(4.13) の 積分を  $D$  内の 積分路に 沿って 行なは  と なる。

ここで 微少サーキュレーション要素  $(\gamma_0 + \gamma_1) ds$  の 関係 積分の 集りと 考えると、右の方 1 つを 部分積分して

$$\frac{\partial x}{\partial n} = \frac{\partial y}{\partial s}, \quad \frac{\partial y}{\partial n} = -\frac{\partial x}{\partial s}$$

$$\frac{\partial x_3}{\partial n} = -\frac{1}{2} \frac{\partial r^2}{\partial s}$$

を了事考慮すると

$$\left. \begin{aligned} I_1 &= \int_{\bar{C}} (\gamma_0 + \gamma_1) y \, ds, \quad I_2 = - \int_{\bar{C}} (\gamma_0 + \gamma_1) x \, ds, \\ I_3 &= - \frac{1}{2} \int_{\bar{C}} (\gamma_0 + \gamma_1) (x^2 + y^2) \, ds, \end{aligned} \right\} \quad (4.16)$$

(4.16) 左辺の 3 つは 附録 C に示すように 2.7 ラジタスの  
公式によるとであつて、それを  $\bar{F}_j^{(L)}$  と  $\frac{1}{2}\bar{F}_3$  と 3 つと

$$(\bar{F}_1^{(L)} - i\bar{F}_2^{(L)})/\rho = i \left[ U(P_0 + P_1) - P_1 \int_{\bar{C}} (\gamma_0 + \gamma_1) \left( \frac{\partial \phi}{\partial x} - i \frac{\partial \phi}{\partial y} \right) ds \right] \quad (4.17)$$

$$\bar{F}_3/\rho = -U \int_{\bar{C}} (\gamma_0 + \gamma_1) x \, ds - P_1 \int_{\bar{C}} (\gamma_0 + \gamma_1) \left( x \frac{\partial \phi}{\partial x} + y \frac{\partial \phi}{\partial y} \right) ds \quad (4.18)$$

$\gamma_0$  は軸方向の流速で、 $\gamma_1$  が基準周波数で、  
振動するとすると  $F_j$  を 定義分、基準周波数の方  
その他の  $\bar{F}_j^{(L)}$  は

$$\bar{F}_j = F_j^{(0)} + \bar{F}_j^{(L)} + \bar{F}_j^{(R)}, \quad \dots \quad (4.19)$$

のようになると

$$\bar{F}_1/\rho = 0, \quad \bar{F}_2^{(0)} = -PU\bar{P}, \quad \bar{F}_3^{(0)} = -\rho U \int_{\bar{C}} \gamma_0 x \, ds \quad (4.20)$$

$$\bar{F}_1^{(1)} / \rho = \sum_i \ddot{x}_i m_{i1} - \frac{d}{dt} \bar{I}_1 - P_1 \int_C \gamma_0 \frac{\partial \phi_V}{\partial y} ds,$$

$$\bar{F}_2^{(1)} / \rho = \sum_i \ddot{x}_i m_{i2} - \frac{d}{dt} \bar{I}_2 - U \bar{P}_1 + P_1 \int_C \gamma_0 \frac{\partial \phi_V}{\partial x} ds, \quad \left. \right\} (4.21)$$

$$\bar{F}_3^{(1)} / \rho = \sum_i \ddot{x}_i m_{i3} - \frac{d}{dt} \bar{I}_3 - U \int_C \gamma_1 x ds - P_1 \int_C \gamma_0 (x \frac{\partial \phi_V}{\partial x} + y \frac{\partial \phi_V}{\partial y}) ds,$$

$$\bar{F}_1^{(2)} / \rho = - P_1 \int_C \gamma_1 \frac{\partial \phi_V}{\partial y} ds, \quad \left. \right\}$$

$$\bar{F}_2^{(2)} / \rho = P_1 \int_C \gamma_1 \frac{\partial \phi_V}{\partial x} ds, \quad \left. \right\} (4.22)$$

$$\bar{F}_3^{(2)} / \rho = - P_1 \int_C \gamma_1 (x \frac{\partial \phi_V}{\partial x} + y \frac{\partial \phi_V}{\partial y}) ds.$$

## 5. 力とモーメント(II)

造波理論では、波浪の力とモーメントの元を計算する

の箇

$$\frac{p}{\rho} = \frac{\partial \phi}{\partial t} - \nabla \bar{\Phi}_0 \cdot \nabla \phi \quad (5.1)$$

$$= i\omega \phi - \nabla \bar{\Phi}_0 \cdot \nabla \phi$$

で近似し、力は

$$\bar{F}_j/\rho = - \int_{\bar{C}} (i\omega \phi - \nabla \bar{\Phi}_0 \cdot \nabla \phi) \frac{\partial \bar{x}_j}{\partial n} ds, \quad (5.2)$$

で現れるとなる。

これを(4.12)と較べると(4.12)右边第2項が無くなる。  
これは、この項は高次の項と考えられ、又それは仕事率(ないよう)あるから減衰を考慮した時は上式で無効になる。

$$\text{さて} \quad \nabla \bar{\Phi}_0 \cdot \nabla \phi = \frac{\partial \bar{\Phi}_0}{\partial n} \frac{\partial \phi}{\partial n} + \frac{\partial \bar{\Phi}_0}{\partial s} \frac{\partial \phi}{\partial s}, \quad \frac{\partial \bar{\Phi}_0}{\partial n} = 0,$$

であるから(5.2)右边第2項を部分積分すると

$$\bar{F}_j/\rho = - \int_{\bar{C}} \phi \left[ i\omega \frac{\partial \bar{x}_j}{\partial n} + \frac{\partial}{\partial s} \left( \frac{\partial \bar{\Phi}_0}{\partial s} \frac{\partial \phi}{\partial n} \right) \right] ds, \quad (5.3)$$

$$\text{但し} \quad \frac{\partial \bar{\Phi}_0}{\partial s} / \text{T.E.} = 0 \quad \text{とする。}$$

(2.1), (2.7)を見ると結果

$$\bar{F}_j / \rho = - \int_{\bar{C}} \phi \frac{\partial \bar{\Phi}_j}{\partial n} ds, \quad (5.3)$$

他に  $\frac{\partial \bar{\Phi}_j}{\partial n} = -i\omega \frac{\partial \chi_j}{\partial n} - \frac{\partial}{\partial n} \left( \frac{\partial \bar{P}_0}{\partial x_j} \right)$

あるいは  $\bar{P}_0$  の逆流  $\tau^* \bar{P}_0$

$$\frac{\partial \bar{P}_0}{\partial n} = - \frac{\partial \bar{\Phi}_j}{\partial n}, \quad (5.4)$$

$\tau^* \bar{P}_0$  から

$$\bar{F}_j / \rho = \int_{\bar{C}} \phi \frac{\partial \bar{P}_0}{\partial n} ds, \quad (5.5)$$

## 6. 仕事、減衰、推力

- 周期の間に与す平均の仕事  $W_{\text{av}}$

$$W = \frac{\omega}{4\pi} \sum_{j=1}^3 (\bar{F}_j \bar{x}_j - \bar{F}_j x_j) \quad , \dots \quad (6.1)$$

(5.3) を 上式に代入して

$$\phi = \sum_{j=1}^3 x_j \psi_j \quad , \dots \quad (6.2)$$

を考慮すると

$$\frac{W}{\rho} = \frac{\omega i}{4} \int_C \left( \phi \frac{\partial \bar{\phi}}{\partial n} - \bar{\phi} \frac{\partial \phi}{\partial n} \right) ds, \quad (6.3)$$

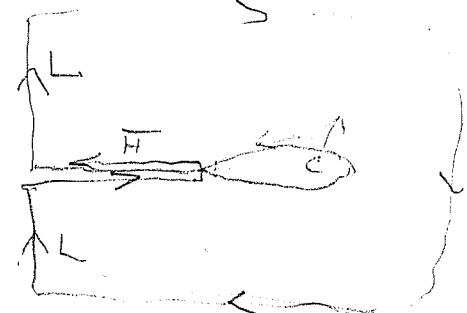
(1.8), (1.12) より

$$\phi = \phi_1 - P \psi_r \quad ,$$

(6.3)をグリーンの定理により後流域  $H$

と領域  $L$  の積分に変換すると

左式 (1.16) より



$$\frac{i}{4} \int_L \left( \phi \frac{\partial \bar{\phi}}{\partial x} - \bar{\phi} \frac{\partial \phi}{\partial x} \right) dy = \frac{(P)^2}{8\alpha} \quad , \dots \quad (6.4)$$

$$\frac{i}{4} \int_H \left( \Delta \phi \frac{\partial \bar{\phi}}{\partial y} - \Delta \bar{\phi} \frac{\partial \phi}{\partial y} \right) dx \quad , \dots \quad (6.5)$$

$$(A-12) \text{ より} \quad \Delta \phi = [\phi]_{y=-0}^{y=+0} = -P e^{i\alpha(x+1)} \quad , \quad (6.6)$$

$$\frac{\partial \phi}{\partial y} = \frac{\partial \phi_1}{\partial y} - P \frac{\partial \psi_r}{\partial y} \quad \text{左式}$$

$$\frac{i}{4} \int_{-\infty}^{\infty} \left[ e^{i\alpha(x+1)} \frac{\partial \bar{\phi}_v}{\partial y} - \bar{e}^{-i\alpha(x+1)} \frac{\partial \phi_v}{\partial y} \right] dx \\ = \frac{\alpha}{4\pi} \int_{-\infty}^{\infty} \int_{-\infty}^{\infty} \frac{e^{i\alpha(x-x')}}{x-x'} dx dx' = 0, \quad \dots (6.7)$$

よなから 等式成立。

$$\frac{i}{4} \int_{\bar{A}} (\Delta \phi \frac{\partial \bar{\phi}}{\partial y} - \Delta \bar{\phi} \frac{\partial \phi}{\partial y}) dx \\ = \frac{i}{4} \bar{P} \bar{P} \int_{-\infty}^{\infty} \left( e^{i\alpha(x+1)} \frac{\partial \bar{\phi}_v}{\partial y} - \bar{e}^{-i\alpha(x+1)} \frac{\partial \phi_v}{\partial y} \right) dx, \quad (6.8)$$

ある。したがって (1.9) を代入して 種の順序を変更すると

$$= \frac{\bar{P} \bar{P}}{4\alpha} \int_{\bar{C}} \left( \bar{\sigma} \frac{\partial \bar{\phi}_v}{\partial y} - \gamma \frac{\partial \bar{\phi}_v}{\partial y} \right) ds, \quad (6.9)$$

$$\therefore \frac{W}{F} = \frac{U \bar{P} \bar{P}}{8\alpha} + \frac{U \bar{P} \bar{P}}{4\alpha} \int_{\bar{C}} \left( \bar{\gamma} \frac{\partial \bar{\phi}_v}{\partial y} + \bar{\gamma} \frac{\partial \bar{\phi}_v}{\partial y} \right) ds, \quad (6.10)$$

一方 (4.22) より 推力  $T$  は、

$$T_p = + \frac{\bar{P} \bar{P}}{4} \int_{\bar{C}} \left( \bar{\gamma} \frac{\partial \bar{\phi}_v}{\partial y} + \bar{\gamma} \frac{\partial \bar{\phi}_v}{\partial y} \right) ds, \quad (6.11)$$

(6.4) は 後流 (2 出 3) < 水の運動エネルギー = E  
でなくある。

$$\bar{E}_p = \frac{U}{8} \bar{P} \bar{P}, \quad \dots \quad (6.12)$$

$$W = E + T U, \quad \dots \quad (6.13)$$

平行線 A 復素平面上の直線

$$\tan \theta = \frac{y-y'}{x-x'}, \quad R^2 = (x-x')^2 + (y-y')^2$$

$$\frac{\partial \theta}{\partial x} = -\frac{\partial \theta}{\partial x'} = \frac{-(y-y')}{R^2}, \quad \frac{\partial \theta}{\partial y} = -\frac{\partial \theta}{\partial y'} = \frac{x-x'}{R^2}$$

$$\Phi_v = \frac{i\alpha}{2\pi} \int_{-\infty}^{-1} e^{i\alpha(x'+1)} \Theta(P; x', 0) dx', \quad (A.1)$$

部分積分法

$$\Phi_v(P) = \frac{1}{2\pi} \Theta(P; -1, 0) - \frac{1}{2\pi} \int_{-\infty}^{-1} e^{i\alpha(x'+1)} \frac{y}{(x-x')^2 + y^2} dx', \quad (A.2)$$

$$\frac{y}{x^2+y^2} = \frac{i}{2} \left( \frac{1}{x+iy} - \frac{1}{x-iy} \right),$$

$$I = -\frac{1}{2\pi} \int_{-\infty}^{-1} e^{i\alpha(x'+1)} \frac{y}{(x-x')^2 + y^2} dx' = -\frac{i}{4\pi} \int_{-\infty}^{-1} e^{i\alpha(x'+1)} \left( \frac{1}{(x-x')+iy} - \frac{1}{(x-x')-iy} \right) dx'$$

$$= \frac{1}{4\pi i} [ J_1 - \bar{J}_2 ] \quad , \quad (A.3)$$

$$J_1 = \int_{-\infty}^{-1} \frac{e^{i\alpha(x'+1)}}{(x-x')+iy} dx', \quad \bar{J}_2 = \int_{-\infty}^{-1} \frac{e^{-i\alpha(x'+1)}}{(x-x')-iy} dx', \quad (A.4)$$

$$J_1 = \int_{-\infty}^0 \frac{e^{i\alpha u}}{(x+1-u)+iy} du = e^{i\alpha(x+1)-iy} \int_{x+1+iy}^{-\infty+iH} \frac{e^{i\alpha t}}{t} dt$$

$$J_2 = -e^{-i\alpha(x+1)+iy} \int_{x+1+iy}^{-\infty} e^{-i\alpha t} \frac{dt}{t} \quad (A.5)$$

$$J_1 = e^{i\alpha(x+1)-iy} \int_{i\alpha(x+1+iy)}^{\infty} \frac{-i}{u} du \quad \left. \begin{array}{l} \text{for } (x+1) > 0 \\ \text{for } (x+1) < 0 \end{array} \right\} - (A.5)$$

$$J_2 = e^{-i\alpha(x+1)+iy} \int_{-i\alpha(x+1+iy)}^{\infty} e^{-iu} \frac{du}{u}$$

## Exponential Integral

$$E_1(z) = \int_z^\infty \frac{e^{-t}}{t} dt, |\arg z| < \pi, (A.7)$$

を導入する

$$J_1 = e^{i\alpha(x+1)-\alpha y} E_1\{i\alpha(x+1)-\alpha y\} \quad (A.6')$$

$$J_2 = e^{-i\alpha(x+1)+\alpha y} E_1\{-i\alpha(x+1)+\alpha y\}$$

左辺  
左辺

$$E_1(z) \xrightarrow{|z| \gg 1} \frac{e^{-z}}{z}, \quad (A.8)$$

$$x+1 < 0 \Rightarrow J_1$$

$$\begin{aligned} y > 0 \text{ のとき} \quad J_1 &= 2\pi i e^{i\alpha(x+1)-\alpha y} + e^{i\alpha(x+1)-\alpha y} \int_{x+1+iy}^{+\infty} \frac{e^{ixt}}{t} dt \\ &= 2\pi i e^{i\alpha(x+1)-\alpha y} + e^{i\alpha(x+1)-\alpha y} E_1\{i\alpha(x+1)-\alpha y\}, \quad (A.9) \end{aligned}$$

$$J_2 = e^{i\alpha(x+1)+\alpha y} E_1\{-i\alpha(x+1)+\alpha y\},$$

$$y < 0 \text{ のとき}$$

$$J_1 = e^{i\alpha(x+1)-\alpha y} E_1\{i\alpha(x+1)-\alpha y\}$$

$$\begin{aligned} J_2 &= -2\pi i e^{-i\alpha(x+1)+\alpha y} \\ &\quad + e^{-i\alpha(x+1)+\alpha y} E_1\{-i\alpha(x+1)+\alpha y\} \quad (A.10) \end{aligned}$$

もし  $x+1 < 0$  なら

$$I = \frac{e^{i\alpha(x+1)-\alpha'y}}{z} + \frac{1}{4\pi i} \left[ e^{i\alpha(x+1)-\alpha'y} E_1\{-\alpha'y+i(x+1)\} - e^{i\alpha(x+1)+\alpha'y} \overline{E_1\{\alpha'y-i(x+1)\}} \right],$$

for  $y > 0$

$$I = -\frac{e^{i\alpha(x+1)+\alpha'y}}{z} + \frac{1}{4\pi i} \left[ e^{i\alpha(x+1)-\alpha'y} E_1\{-\alpha'y+i(x+1)\} - e^{i\alpha(x+1)+\alpha'y} \overline{E_1\{\alpha'y-i(x+1)\}} \right]$$

for  $y < 0$

もし  $|x+iy| \gg 1$  のとき  $x+1 < 0$  なら

$$\phi_v(p) = \frac{1}{2\pi} H(p; -1, 0) + \frac{\operatorname{sgn}(y)}{z} e^{i\alpha(x+1)-\alpha|y|}, \quad (A.12)$$

## 附録B カルマン渦列の抵抗力

カルマン渦列に対する抵抗力を与えた式は Text 12 通り

$$D = \frac{\rho Ph}{\ell} (V - zu) + \frac{\rho P^2}{2\pi\ell} , \quad \dots \quad (B.1)$$

$$\tanh(\frac{u}{\sqrt{2}l}) = \sqrt{2}, \quad \frac{h}{\ell} = .2806, \quad \left. \begin{array}{l} u = \frac{P}{2\ell} \tanh(\frac{u}{\sqrt{2}l}) = \frac{P}{2\sqrt{2}\ell} \\ \end{array} \right\} \quad (B.2)$$

で与えられる。

電卓計算

$$C_D = \frac{D}{\frac{\rho}{2} V^2 \ell} = 1.587 \frac{u}{V} - 0.628 \frac{u^2}{V^2} , \quad \dots \quad (B.3)$$

$$12 \quad C_D = -0.628 \left( \frac{u}{V} - 1.263 \right)^2 + 1.003 , \quad (B.4)$$

273 次

$$\text{Max.}[C_D] = 1.003 \quad \text{at} \quad \frac{u}{V} = 1.263 , \quad (B.5)$$

$$2^{\circ} \quad C_D < 0 \quad \text{for} \quad \frac{u}{V} \geq 2.526 \quad \text{or} \quad \frac{u}{V} \leq 0 , \quad (B.6)$$

振動翼の後流場も充分後流では安定なカルマン渦列は移行すると考えられる。

振動の固有周波数を  $\omega$  とすると、

$$u = \frac{\omega l}{2\pi} = \frac{P}{2\sqrt{2}\ell} , \quad \dots \quad (B.7)$$

$$1^{\circ} \quad \ell^2 = \frac{\pi}{\sqrt{2}} \frac{P}{\omega} , \quad (B.7')$$

推力は (B.1) の符号をかえたもの

$$T = \frac{\rho P h}{\ell} (V + 2u) - \frac{\rho P^2}{2\pi\ell} , \dots \quad (B.8)$$

$u/V \geq 2.526$  で始めて推力となる。

$$C_T = \frac{T}{\frac{1}{2} \rho V^2 C} = \frac{\ell}{c} \left[ 0.628 \frac{u^2}{V^2} - 1.587 \frac{u}{V} \right] , \quad (B.9)$$

c は弦長 (ft).

$$\frac{u}{V} = \frac{\omega l}{2\pi V} = \frac{\omega c}{2V} \cdot \frac{l}{\pi c} = \alpha \frac{l}{\pi c}$$

$\alpha$ : reduced frequency

$$C_T = \alpha \left( \frac{l}{c} \right)^2 \left[ 0.0636 \left( \frac{l}{c} \right) - .505 \right] , \quad (B.10)$$

$l$  &  $c$  定すれば 推力が  $\alpha^2$  と  $l/c$  で決まる。

## 附録C ラガリーノの定理とフーラジウスの公式

ラガリーノの定理では、力とモーメントは、

$$\begin{aligned} X \\ Y \end{aligned} = P \int_C \left[ \frac{1}{2} (\nabla \bar{\Phi})^2 \left( \frac{\partial \bar{\Phi}}{\partial n} \right) - \left( \bar{\Phi}_x \right) \frac{\partial \bar{\Phi}}{\partial n} \right] ds, \quad (C.1)$$

$$\begin{aligned} M = P \int_C \left[ \frac{1}{2} (\nabla \bar{\Phi})^2 \left( \bar{\Phi}_x \frac{\partial \bar{\Phi}}{\partial n} - \bar{\Phi}_y \frac{\partial \bar{\Phi}}{\partial n} \right) \right. \\ \left. - \frac{\partial \bar{\Phi}}{\partial n} \left( \bar{\Phi}_x \frac{\partial \bar{\Phi}}{\partial y} - \bar{\Phi}_y \frac{\partial \bar{\Phi}}{\partial x} \right) \right] ds, \quad (C.2) \end{aligned}$$

$$\therefore \bar{\Phi} + i\bar{\Psi} = \bar{F}(z), \quad \dots \quad (C.3)$$

ある複素速度  $\bar{F}(z)$  の実部  $\bar{\Phi}$  を導入し、(C.1) が

$$\begin{aligned} X \\ Y \end{aligned} = P \int_C \left[ \frac{1}{2} (\nabla \bar{\Phi})^2 dy - \bar{\Phi}_x [\bar{\Phi}_y dy - \bar{\Phi}_y dx] \right] \\ = P \int_C \left[ \bar{\Phi}_x \bar{\Phi}_y dx - \frac{1}{2} (\bar{\Phi}_x^2 - \bar{\Phi}_y^2) dy \right]$$

$$\begin{aligned} Y \\ X \end{aligned} = P \int_C \left[ -\frac{1}{2} (\nabla \bar{\Phi})^2 dx - \bar{\Phi}_y (\bar{\Phi}_x dy - \bar{\Phi}_y dx) \right] \\ = P \int_C \left[ -\bar{\Phi}_x \bar{\Phi}_y dy + \frac{1}{2} (\bar{\Phi}_x^2 - \bar{\Phi}_y^2) dx \right], \quad X$$

$$\begin{aligned} \therefore X - iY &= \frac{P}{2} \int_C \left[ \bar{\Phi}_x^2 - \bar{\Phi}_y^2 + 2i\bar{\Phi}_x \bar{\Phi}_y \right] dz \\ &= \frac{P}{2} \int_C \left( \frac{d\bar{F}}{dz} \right)^2 dz, \quad \dots \quad (C.4) \end{aligned}$$

B. Riemann の式となる。

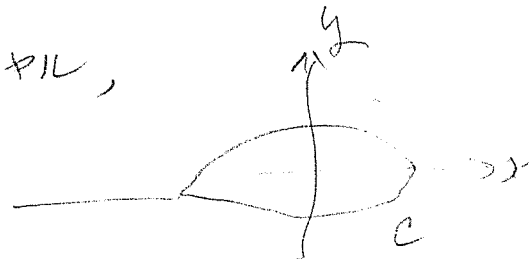
第12回

$$M = \operatorname{Re} \left[ -\frac{e}{z} \int_C \left( \frac{d\bar{H}}{dz} \right)^2 z dz \right], \quad \dots (C.5)$$

今  $\bar{H}(z) = Uz + f_1(z) + f_2(z), \quad \dots (C.6)$

よし  $f_1$  は  $C$  上の  $i\bar{\theta}$  の  $\delta$  で  $\delta$  が  $2\pi$  より少く、

$f_2$  は  $3\delta$  の  $i\bar{\theta}$  の  $\delta$  より少く。



$$f_1(z) = \frac{1}{2\pi i} \int_C \delta \delta_F(z-z') ds, \quad (C.7)$$

$$f_1(z) \xrightarrow{z \gg r} \frac{P}{2\pi i} \delta_F z, \quad \} \quad (C.8)$$

$$P = \int_C \delta ds$$

$$\left( \frac{d\bar{H}}{dz} \right)^2 = (U + f'_1 + f'_2)^2 = U^2 + 2Uf'_1 + 2Uf'_2 + 2f'_1 f'_2 + f'^2_1 + f'^2_2, \quad (C.9)$$

$$\begin{aligned} \int_C \left( \frac{d\bar{H}}{dz} \right)^2 dz &= 2PU + 2 \int_C f'_1 f'_2 dz \\ &= 2PU + 2 \int_C \delta \frac{df_2}{dz} ds, \quad \dots (C.10) \end{aligned}$$

$$\int_C \delta \left( \frac{d\bar{H}}{dz} \right)^2 dz = 2U \int_C \delta z ds + \frac{P^2}{2\pi i} + 2 \int_C \delta z \frac{df_2}{dz} ds, \quad (C.11)$$

# 附録D 解いて

速度ベクトルを (1.8), (1.9), (1.12) に

$$\phi = \frac{1}{2\pi} \int_C \gamma \cdot \hat{\theta} ds - P \phi_v, \quad \dots \quad (D.1)$$

$$\frac{\partial}{\partial n} \left[ \frac{1}{2\pi} \int_C \gamma_j \cdot \hat{\theta} ds \right] = - \frac{\partial \gamma_j}{\partial n}, \quad j=1, 2, 3, \quad (D.2)$$

$$\frac{\partial}{\partial n} \left[ \frac{1}{2\pi} \int_C \gamma_{j+3} \cdot \hat{\theta} ds \right] = - \frac{\partial}{\partial n} \left( \frac{\partial \phi_0}{\partial x_j} \right), \quad j=1, 2, 3 \quad (D.3)$$

$$\frac{\partial}{\partial n} \left[ \frac{1}{2\pi} \int_C \gamma_V \cdot \hat{\theta} ds \right] = \frac{\partial [\phi_v]}{\partial n}, \quad (D.4)$$

の解  $\gamma_i$  を求める

前掲の解  $\gamma_s$  は

$$\begin{aligned} \gamma_s &= i\omega \gamma_1 + \gamma_4 + P_s \gamma_V \\ \text{L-F-PH2 18} \quad \gamma_R &= i\omega \gamma_2 + \gamma_5 + P_h \gamma_V \end{aligned} \quad \left. \right\} \quad (D.5)$$

後掲の解

$$\gamma_p = i\omega \gamma_3 + \gamma_6 + P_p \gamma_V$$

$$P_s = \int_C \gamma_s ds, \quad P_h = \int_C \gamma_R ds, \quad P_p = \int_C \gamma_p ds, \quad (D.6)$$

$\gamma_j$  ( $j=1 \sim 6$ ) に対して実数値をとるが  $\gamma_V$  は複素数値である

(D-5) &amp; (D-6) 代入法

$$\begin{aligned} \bar{P}_s &= i\omega \bar{P}_1 + \bar{P}_4 + \bar{P}_5 \bar{P}_v \\ \bar{P}_h &= i\omega \bar{P}_2 + \bar{P}_5 + \bar{P}_6 \bar{P}_v \\ \bar{P}_p &= i\omega \bar{P}_3 + \bar{P}_6 + \bar{P}_p \bar{P}_v \end{aligned} \quad \left. \right\} \text{--- (1)}$$

解き

$$\begin{aligned} \bar{P}_5 &= \frac{i\omega \bar{P}_1 + \bar{P}_4}{1 - \bar{P}_v} \\ \bar{P}_6 &= \frac{i\omega \bar{P}_2 + \bar{P}_5}{1 - \bar{P}_v} \\ \bar{P}_p &= \frac{i\omega \bar{P}_3 + \bar{P}_6}{1 - \bar{P}_v} \end{aligned} \quad \left. \right\} \begin{aligned} \bar{P}_j &= \int_C \gamma_j ds. \\ \bar{P}_v &= \int_C \gamma_v ds \end{aligned} \quad \left. \right\} \text{(D-7)}$$